

# МОДЕЛИРОВАНИЕ СВОЙСТВ КОМПОЗИЦИОННОГО МАТЕРИАЛА, АРМИРОВАННОГО КОРОТКИМИ ВОЛОКНАМИ. КОГЕЗИОННАЯ МОДЕЛЬ МЕЖФАЗНОГО СЛОЯ.

Белов П.А.\*, Лурье С.А., Гордеев А.В.

\*ООО «НИК», г. Москва

Институт прикладной механики РАН, г. Москва, Россия

## РЕЗЮМЕ

*В работе дается сравнительный анализ возможностей модели классической теории упругости и прикладной модели сред с сохраняющимися дислокациями дать соответствующий эксперименту прогноз свойств волокнистого композита при растяжении. Для обеих моделей выбирается одна и та же расчетная схема, так называемая биплоская 2D-постановка, которая реализуется методом В.З. Власова. Дается оценка эффективных свойств эквивалентного гомогенного материала; приводится сравнение результатов расчета эффективного модуля Юнга в рамках рассмотренных моделей с результатами других авторов.*

*В работах [2], [3] показано, что классическая модель не дает возможности моделирования свойств композита, соответствующим экспериментальным данным. И, напротив, предложенная в этой работе прикладная модель сред с сохраняющимися дислокациями (когезионная модель межфазного слоя), позволяет дать адекватный эксперименту прогноз эффективных свойств композита, что обусловлено учётом масштабных эффектов.*

## ВВЕДЕНИЕ

В настоящее время, в связи с развитием новых технологий производства наноразмерных включений и технологий получения композитов, на основе таких включений, возникла потребность в адекватном моделировании свойств композиционных материалов, модифицированных нановолокнами. Методы молекулярно-динамического моделирования [1] представляются наиболее адекватными для описания поведения таких композитов, однако к недостаткам подобных методов следует отнести многообразие сценариев моделирования, которые определяются субъективными пристрастиями исследователя, потребность в значительных вычислительных ресурсах, а также сложность применения подобных методов для инженерных вычислений. В этой связи возникла потребность в простых инженерных методиках, основанных на методах механики сплошной среды. В данной работе будет предложена одна из таких моделей, построенная в рамках теории межфазного слоя [4]. Проведено сравнение с результатами, полученными с помощью моделей молекулярной динамики, а также сделаны выводы о применимости модели для расчетов параметров композита.

## 1. КОГЕЗИОННАЯ МОДЕЛЬ МЕЖФАЗНОГО СЛОЯ.

В работах [2-3] было показано, что классическая модель композита не позволяет получить результаты, подтвержденные экспериментом [1]. Положение не спасает ни учет краевых эффектов вдоль оси волокна, ни учет адгезионных взаимодействий между волокном и матрицей.

Поэтому, для описания композита полимерная матрица/нановолокно, в работе использована когезионная модель межфазного слоя [4]. Рассмотрим модель, учитывающую когезионные взаимодействия.

### 1.1. Постановка задачи.

Исходная постановка взята из работы [4]:

$$L = A - \frac{1}{2} \iiint [C_{ijnm}^{11} \frac{\partial R_n}{\partial x_m} \frac{\partial R_i}{\partial x_j} - 2C_{ijnm}^{12} \frac{\partial R_n}{\partial x_m} d_{ij}^{\Xi} + C_{ijnm}^{22} d_{nm}^{\Xi} d_{ij}^{\Xi} + C_{ijnm}^{33} \Xi_{ij} \Xi_{nm}] dV \quad (1)$$

где:

$R_i$  - вектор перемещений,

$d_{ij}^0$  - тензор стесненной дисторсии (интегрируемой дисторсии)  $\frac{\partial d_{in}^0}{\partial x_m} \mathcal{E}_{nmj} = 0$ ,

$d_{ij}^{\Xi}$  - тензор свободной дисторсии (неинтегрируемой дисторсии)  $\frac{\partial d_{in}^{\Xi}}{\partial x_m} \mathcal{E}_{nmj} \neq 0$ ,

$\Xi_{ij} = \frac{\partial d_{in}^{\Xi}}{\partial x_m} \mathcal{E}_{nmj}$  - тензор дислокаций Де Вита,

$C_{ijnm}^{pq} = \lambda^{pq} \delta_{ij} \delta_{nm} + (\mu^{pq} + \chi^{pq}) \delta_{in} \delta_{jm} + (\mu^{pq} - \chi^{pq}) \delta_{im} \delta_{jn}$  - тензоры модулей дефектной среды. Для построения прикладной градиентной модели используется обобщение гипотезы Аэро-Кувшинского:

$$d_{ij}^{\Xi} = a_{ijnm} \frac{\partial R_n}{\partial x_m}, \quad (2)$$

где  $a_{ijnm} = a \delta_{ij} \delta_{nm} + (b + c) \delta_{in} \delta_{jm} + (b - c) \delta_{im} \delta_{jn}$  - неклассические параметры дефектной среды, определяемые по компонентам тензоров  $C_{ijnm}^{12}$  и  $C_{ijnm}^{22}$ . Параметры  $(2b + 3a), b, c$  можно трактовать как «выключатели» трех типов дислокаций, введенных в [4]. Тензор Де Вита с учетом (2) принимает вид:

$$\Xi_{ij} = \frac{\partial d_{in}^{\Xi}}{\partial x_m} \mathcal{E}_{nmj} = \frac{\partial}{\partial x_m} (a_{inpq} \frac{\partial R_p}{\partial x_q}) \mathcal{E}_{nmj} = a_{inpq} \mathcal{E}_{nmj} \frac{\partial^2 R_p}{\partial x_m \partial x_q} \quad (3)$$

Подставляя (2) и (3) в лагранжиан (1), получим:

$$L = A - \frac{1}{2} \iiint \{ [C_{pqrs}^{11} - 2(C_{ijrs}^{12} a_{ijpq}) + (C_{ijnm}^{22} a_{nmrs} a_{ijpq})] \frac{\partial R_r}{\partial x_s} \frac{\partial R_p}{\partial x_q} + C_{ijnm}^{33} (a_{ipab} \mathcal{E}_{pcj} \frac{\partial^2 R_a}{\partial x_c \partial x_b}) (a_{nqdf} \mathcal{E}_{qgm} \frac{\partial^2 R_d}{\partial x_g \partial x_f}) \} dV$$

Введём обозначения:

$$C_{rspq} = C_{pqrs}^{11} - 2(C_{ijrs}^{12} a_{ijpq}) + (C_{ijnm}^{22} a_{nmrs} a_{ijpq}) = C_{pqrs} \quad (4)$$

$$C_{abcdfg} = C_{ijnm}^{33} a_{ipab} \mathcal{E}_{pcj} a_{nqdf} \mathcal{E}_{qgm} = C_{dfgabc}$$

Тогда лагранжиан (1) приводится к виду лагранжиана среды Тупина [5]:

$$L = A - \frac{1}{2} \iiint [C_{ijnm} \frac{\partial R_i}{\partial x_j} \frac{\partial R_n}{\partial x_m} + C_{ijkml} \frac{\partial^2 R_i}{\partial x_k \partial x_j} \frac{\partial^2 R_n}{\partial x_l \partial x_m}] dV \quad (5)$$

Полученное выражение для лагранжиана записано только относительно перемещений. Таким образом, и уравнения Эйлера и краевая задача будут сформулированы только относительно перемещений. После решения этой краевой задачи поле свободной дисторсии  $d_{ij}^{\Xi}$  и тензор плотности дислокаций  $\Xi_{ij}$  могут быть определены дифференцированием.

В общем случае тензор моментных модулей  $C_{ijkml}$  для сред Тупина содержит одиннадцать независимых модулей. В модели (5) их два. Можно упростить структуру тензора  $C_{ijkml}$ , вводя упрощающую «гипотезу пропорциональности» моментных модулей:

$$C_{ijkml} = \frac{1}{C} C_{rijk} C_{rml} \quad (6)$$

В результате, получена когезионная модель межфазного слоя, которая содержит лишь один неклассический механический параметр для каждой из фаз - параметр  $C$ .

## 1.2 Биплоская 2D постановка.

Рассмотрим фрагмент композиционного материала, показанный на рис.1. Этот фрагмент нагружается, как показано на рис. 2. Будем использовать 2D постановку биплоской задачи для лагранжиана  $L$ , в которой мы полагаем, что поле перемещений  $R_i$  имеет только одну компоненту  $R$ . Причем  $R$  - функция двух координат  $x, y$ . Корректность применения биплоской 2D-постановки рассмотрена в [2].

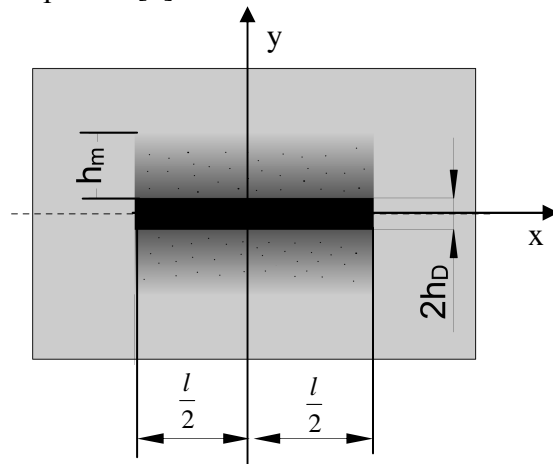


Рис. 1  
Фрагмент композита  
с продольным расположением  
волокон

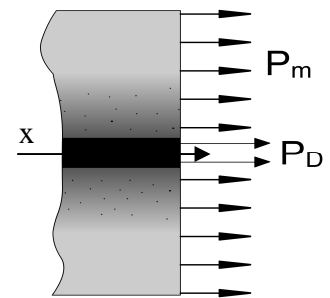


Рис. 2  
Схема нагружения

Лагранжиан (5) с учетом (6) для биплоской 2D-постановки имеет вид:

$$L = A - \frac{1}{2} \iint \left\{ E \frac{\partial R}{\partial x} \frac{\partial R}{\partial x} + G \frac{\partial R}{\partial y} \frac{\partial R}{\partial y} + \frac{1}{C} \left( E \frac{\partial^2 R}{\partial x \partial x} + G \frac{\partial^2 R}{\partial y \partial y} \right)^2 \right\} dx dy \quad (7)$$

Искомое решение так же, как и в [2-3], строится методом Власова, и распределение перемещений выбирается тоже в виде  $R(x, y) = xr(y)$ . Тогда лагранжиан (7) может быть преобразован к виду:

$$L = A - \frac{1}{2} \iint \left\{ Err + Gx^2 r' r' + \frac{G^2}{C} x^2 r'' r'' \right\} dx dy$$

После внутреннего интегрирования по координате  $x$ , лагранжиан принимает вид:

$$L = A - \frac{1}{2} \int_0^{h_D+h_M} \left\{ Elr r + \frac{Gl^3}{12} r' r' + \frac{G^2}{C} \frac{l^3}{12} r'' r'' \right\} dy \quad (8)$$

Вариационное уравнение получено в соответствии с принципом Лагранжа:

$$\begin{aligned} \delta L = l \int_0^{h_D+h_M} \left\{ p - Er + G \frac{l^2}{12} r'' - \frac{G^2}{C} \frac{l^2}{12} r'''' \right\} \delta r dy - \\ - l \left\{ \left( G \frac{l^2}{12} \frac{G}{C} r'' \right) \delta r' + \left( G \frac{l^2}{12} r' - \frac{G^2}{C} \frac{l^2}{12} r'''' \right) \delta r \right\} \Big|_{y=h_D} = 0 \end{aligned} \quad (9)$$

Вариационное уравнение определяет соответствующие уравнения равновесия и весь спектр граничных условий. Уравнения равновесия являются неоднородными дифференциальными уравнениями четвертого порядка для каждой из фаз:

$$\frac{G^2}{C} \frac{l^2}{12} r'''' - G \frac{l^2}{12} r'' + Er = p \quad (10)$$

Внеинтегральные члены вариационного уравнения определяют граничные условия на осях симметрии волокна и матрицы, а так же условия контакта для волокна и для матрицы. Таким образом, формулировка граничных условий будет следующей:

$$\begin{cases} G_D r'_D(0) = 0 \\ G_D r'_D(0) - \frac{G_D^2}{C_D} r''_D(0) = 0 \\ \begin{cases} r_D(h_D) = r_M(h_D) \\ G_D r'_D(h_D) = G_M r'_M(h_D) \\ G_D r'_D(h_D) - \frac{G_D^2}{C_D} r''_D(h_D) = G_M r'_M(h_D) - \frac{G_M^2}{C_M} r''_M(h_D) \\ \frac{G_D}{C_D} r''_D(h_D) = \frac{G_M}{C_M} r''_M(h_D) \end{cases} \\ G_M r'_M(h_D + h_M) = 0 \\ G_M r'_M(h_D + h_M) - \frac{G_M^2}{C_M} r''_M(h_D + h_M) = 0 \end{cases} \quad (11)$$

Характеристические уравнения для уравнений равновесия будут выглядеть следующим образом:

$$\left[ \frac{G}{C} k^4 - k^2 + \frac{12E}{l^2 G} \right]_{D,M} = 0 \quad (12)$$

Корни характеристических уравнений имеют вид:

$$k_{1,2,3,4D,M} = \pm \sqrt{\frac{1 \pm \sqrt{1 - 48 \frac{E}{Cl^2}}}{2 \frac{G}{C}}} \quad (13)$$

Обратим внимание на то, что первая пара корней характеристического уравнения приближенно совпадает с корнями характеристического уравнения классической постановки.

$$k_{1,2,3,4D,M} \approx \begin{cases} \pm \frac{1}{l} \sqrt{\frac{12E}{G}} = \pm b \\ \pm \sqrt{\frac{C}{G}} \end{cases}$$

Заметим, что корни становятся кратными, если  $C = 48E/l^2 = 4Gb^2$ , а при  $C < 48E/l^2$  - комплексно-сопряженными. Приведем решение для случая, когда  $k_{1,2,3,4D,M} = \pm \alpha_{D,M} \pm i\beta_{D,M}$  комплексно сопряженные корни характеристического уравнения:

Для волокна  $0 \leq y \leq h_D$ :

$$r_D(y) = \frac{P_D}{E_D} + C_{D1} ch(\alpha_D y) \cdot \cos(\beta_D y) + C_{D2} sh(\alpha_D y) \cdot \sin(\beta_D y)$$

Для матрицы  $h_M \leq y \leq h_M + h_D$ :

$$r_M(y) = \frac{P_M}{E_M} + C_{M1} ch(\alpha_M (y - h_M - h_D)) \cdot \cos(\beta_M (y - h_M - h_D)) + \\ + C_{M2} sh(\alpha_M (y - h_M - h_D)) \cdot \sin(\beta_M (y - h_M - h_D))$$

Эта система уравнений позволяет определить постоянные интегрирования в решении дифференциальных уравнений  $C_{D1}, C_{D2}, C_{M1}, C_{M2}$  и построить решение в целом. Численно решая систему (11) относительно  $C_{M1}, C_{M2}, C_{D1}, C_{D2}$  были найдены искомые перемещения и напряжения композита.

### 1.3. Определение модуля Юнга эквивалентного материала

В соответствии с теоремой Клапейрона вычисление потенциальной энергии составного фрагмента дает:

$$U = \frac{1}{2} A = \frac{1}{2} l \int_0^{h_D+h_M} Pr(y) dy = \\ = \frac{1}{2} l P_D \int_0^{h_D} \left( \frac{P_D}{E_D} + C_{D1} ch(\alpha_D y) \cdot \cos(\beta_D y) + C_{D2} sh(\alpha_D y) \cdot \sin(\beta_D y) \right) dy + \\ + \frac{1}{2} l P_M \int_{h_D}^{h_D+h_M} \left( \frac{P_M}{E_M} + C_{M1} ch(\alpha_M (y - h_M - h_D)) \cdot \cos(\beta_M (y - h_M - h_D)) \right) dy + \\ + \frac{1}{2} l P_M \int_{h_D}^{h_D+h_M} (C_{M2} sh(\alpha_M (y - h_M - h_D)) \cdot \sin(\beta_M (y - h_M - h_D))) dy \quad (14)$$

Чтобы найти модуль Юнга эффективного континуума, сравним потенциальную энергию (14) с потенциальной энергией  $U_0$  для эквивалентного гомогенного фрагмента с модулем  $E$ :

$$U_0 = 0,5l \cdot p_x^2 (h_D + h_M) / E . \quad (15)$$

Из равенства потенциальных энергий гомогенного эквивалентного материала (15) и фрагмента композиционного материала (14) получим выражение для модуля Юнга эффективного континуума  $E$ :

$$E = p_x (h_D + h_M) / \left[ \int_0^{h_D} \left( \frac{P_D}{E_D} + C_{D1} ch(\alpha_D y) \cdot \cos(\beta_D y) + C_{D2} sh(\alpha_D y) \cdot \sin(\beta_D y) \right) dy + \right. \\ \left. + \int_{h_D}^{h_D+h_M} \left( \frac{P_M}{E_M} + C_{M1} ch(\alpha_M (y - h_M - h_D)) \cdot \cos(\beta_M (y - h_M - h_D)) \right) dy + \right. \\ \left. + \int_{h_D}^{h_D+h_M} (C_{M2} sh(\alpha_M (y - h_M - h_D)) \cdot \sin(\beta_M (y - h_M - h_D))) dy \right]$$

Далее, для нахождения значений эффективного модуля  $E$ , полученное уравнение решалось численно, поэтому аналитическая формула не приводится.

### 2.3 Анализ полученных результатов

Значения параметров модели выбраны аналогично [1-3]. Зависимость эффективного модуля от когезионного модуля волокна такова, что когезионный модуль жёсткой фазы практически не оказывает влияние на решение. Этот вывод соответствует выводу, полученному в [2]: «жёсткая фаза выталкивает межфазный слой в матрицу». Зависимость эффективного модуля от когезионного модуля матрицы при этом существенна. На рисунке (рис.5) показана тенденция графика при изменении когезионного модуля матрицы. Когезионный модуль матрицы изменялся от 0,0001 ГПа/нм<sup>2</sup> до 0,005 ГПа/нм<sup>2</sup> с шагом 0,0007 ГПа/нм<sup>2</sup>, при этом с увеличением значения модуля, решение становилось все ближе и ближе к классическому. Как видно на рис.5, существуют такие значения когезионного модуля, при которых решение будет близко к значениям, полученным в работе [1].

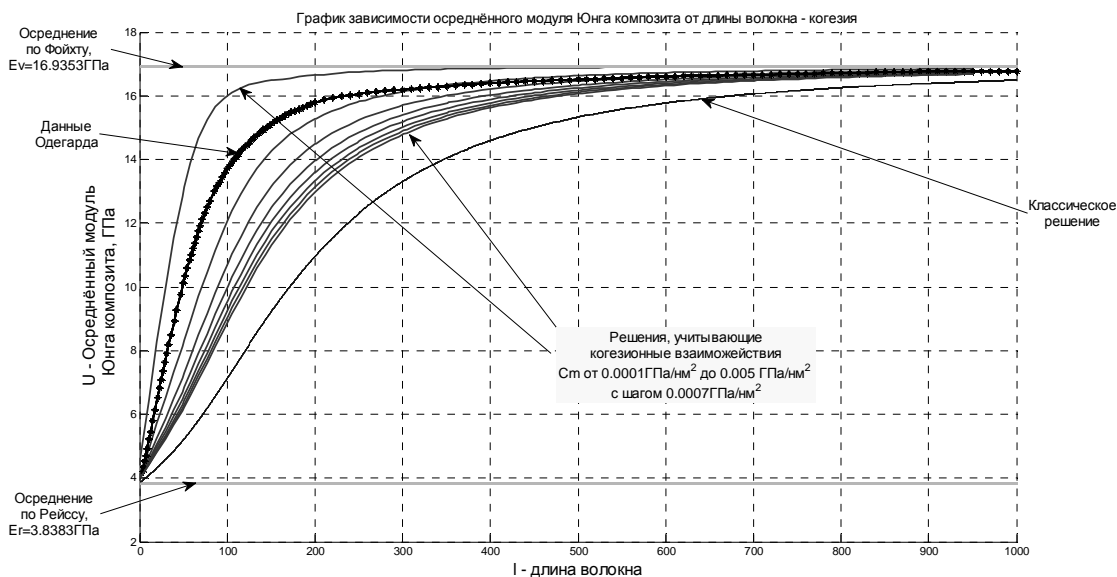


Рис. 5 ( $C_M$  от  $0,0001 \text{ ГПа/нм}^2$  до  $0,005 \text{ ГПа/нм}^2$  с шагом  $0,0007 \text{ ГПа/нм}^2$ )

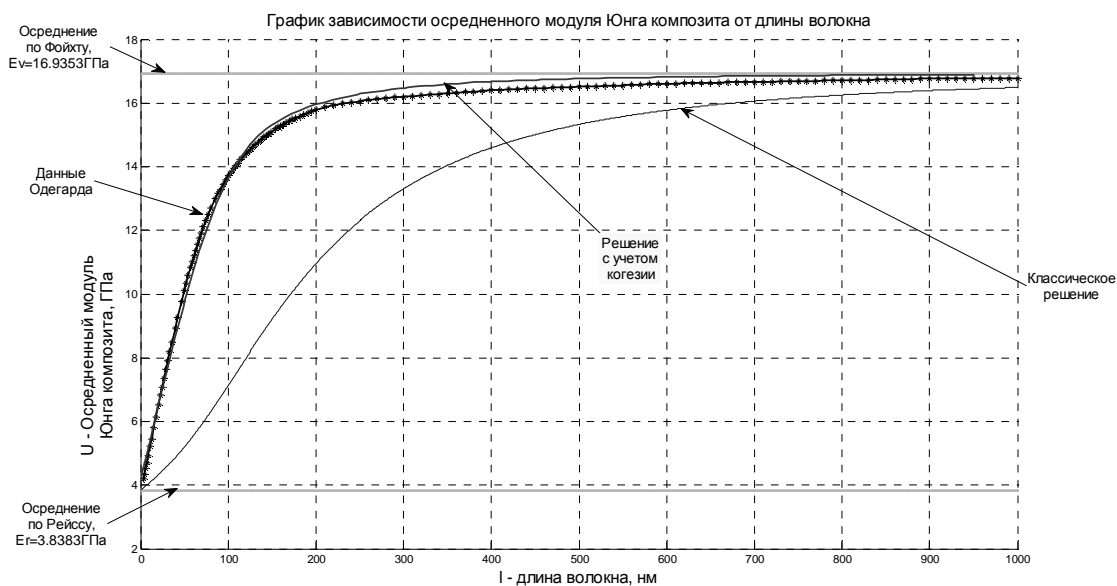


Рис.6 ( $C_M = 0,0004 \text{ ГПа/нм}^2$ )

На рис. 6 показано решение, наиболее близкое к значениям, полученным группой Г.М. Одегарда в работе [1]. Этому решению соответствует когезионный модуль матрицы  $C_M = 0,0004 \text{ ГПа/нм}^2$ .

## 2. ВЫВОДЫ

Если считать результаты группы Одегарда соответствующими эксперименту, то можно сделать вывод о том, что классическая модель композита, не позволяет объяснить эффект усиления, описанный в работе [1]. Напротив, результат, полученный с использованием когезионной модели

межфазного слоя, близок к экспериментальным данным. Анализируя полученные данные, можно говорить о том, что при одной и той же расчетной схеме (би плоская 2D-постановка) классическая модель не позволяет описать, а когезионная модель межфазного слоя успешно описывает эффект группы Одегарда.

## ЛИТЕРАТУРА

1. G.M. Odegard, T.S. Gates, K.E. Wise, C. Park, and E.J. Siochi: Constitutive modeling of nanotube-reinforced polymer composites. National Aeronautics and Space Administration Langley Research Center, Hampton, VA 23681-2199.
2. Гордеев А.В. Моделирование свойств композиционного материала, армированного короткими волокнами//Механика композиционных материалов и конструкций, 2010, Т.16, №1
3. Белов П.А., Лурье С.А., Гордеев А.В. Моделирование свойств композиционного материала, армированного короткими волокнами. Учёт адгезионных взаимодействий волокна и матрицы//Композиты и наноструктуры, 2010, №1.
4. Лурье С.А., Белов П.А., Криволицкая И.И. О некоторых классах моделей тонких структур// Конструкции из композиционных материалов, ВИМИ, 2000, вып.2, 29-40.
5. Toupin R.A. Elastic materials with couple-stresses//Arch. Ration. Mech. And Analysis, 1962, 11.